

신경회로망의 2차 비선형 연상기억 모델의 광학적 구현

(Optical Implementation of a Quadratic Associative Memory Model of Neural Networks)

張珠錫*, 申相永*, 李壽永*

(Ju-Seog Jang, Sang-Yung Shin and Soo-Young Lee)

要 約

신경회로의 이차 비선형 연상기억모델을 광학적으로 구현하였다. 이 때 요구되는 신경소자들 간의 가중 N^3 연결은 광벡터-행렬 곱셈기와 연결홀로그램으로 실현하였고 구성된 시스템이 연상기억 작용을 나타냄을 관측하였다.

Abstract

Optical implementation of a quadratic associative memory model of neural networks is reported. Weighted N^3 interconnections between neurons are realized with an optical matrix-vector multiplier and interconnection holograms.

I. 서 론

최근 광연상기억이 정보저장이나 패턴인식을 위해 많은 관심을 끌고 있다. 여러가지의 광연상기억 형태가 제안되고 또한 실험적으로 증명되었다.^[1~7] 그러나 종래의 선형 분별함수에 근거한 연상기억은 그의 저장용량이 제한되어 있었다.^[8,9] 이를 극복하기 위해 상관(correlation) 영역에서 비선형성을 도입하는 것이 한 가지 방법이다.^[10~13] 홀로그램 연상기억에서는 광굴절결정의 비선형성을 사용하여 저장용량을 증가시키며^[11~14] 신경회로의 연상기억에서는 고차 비선형 분별함수 혹은 고차 에너지함수에 근거한 연상기억

모델이 제안되었었다.^[15~17]

비선형성의 차수가 높아질수록 저장용량은 증가하지만 이를 구현하기 위한 시스템은 급격히 복잡해지므로 이의 타협점을 찾아야 할 것이다. 이 논문에서는 비교적 간단한 시스템이지만 저장용량을 증가시킬 수 있는 신경회로의 2차 비선형 연상기억(2차 분별함수 모델)의 광학적 구현방법을 제시하고^[18] 실험적으로 입증하였다. 이 때 신경간에 존재하는 가중 N^3 연결은 홀로그램 어레이와 광벡터-행렬 곱셈기를 이용하여 실현하였다. 홀로그램 어레이를 이용한 다중연결 방법^[7]은 본 연구실에서 처음으로 제안되고 실험되었으며, 독립적으로 Caulfield에 의해 병렬 N^4 연결법^[19]으로 제안된 바 있다. 이 방법은 공간에서 평면과 평면사이의 임의의 연결을 시킬 수 있는 것으로서, 2차 비선형연상기억 시스템을 구현하는 본 논문에서도 이를 부분적으로 이용한 것이다.

*正會員, 韓國科學技術院 電氣 및 電子工學科

(Dept. of Electrical Eng., KAIST)

接受日字 : 1988年 12月 7日

II. 신경회로의 이차 비선형 연상기억 모델

Hopfield 모델과 같은 선형 자기연상기억(autoassociative memory)을 고차의 연결강도를 갖도록 확장하면 다음과 같이 쓸 수 있다.^[15]

$$V_i = \text{thr} \left\{ W_{0i} + \sum_j W_{ij} V_j + \sum_j \sum_k W_{ijk} V_j V_k + \dots \right\} \quad (1)$$

여기서 V_i 는 벡터의 i 번째 요소값이고 $\text{thr}\{\cdot\}$ 은 thresholding 작용을 나타내며 W_{ijk} 는 연결 가중치이다. 일 반적으로 자기연상기억에서는 출력 벡터를 다시 입력으로 채환될 수 있고, 이질연상기억(heteroassociative memory)의 고차모델로의 확장도 마찬가지로 얻어진다. 고차 비선형 연상기억에서는 단위소자인 신경들간에 연결이 직접 일어나지 않고 입력 패턴에 따라 신경간의 연결세기가 그때그때 변화된다(식(1)에서 세번째 항 이후). 이들 동적연결은 연결의 많은 자유도를 제공하므로 저장능력의 증대를 가져온다. 여기서는 특히 구현이 간단하면서 선형모델에 비해 저장용량을 증대시키는 2차 비선형모델에 대해 고찰한다. 수식적으로 살펴보면, 길이 N bit의 M 개의 2진 벡터 V^s ($S=1, 2, \dots, M$)는 다음과 같은 외적에 의한 3차 rank의 tensor에 기억된다.

$$W_{ijk} = \sum_{s=1}^M (2V_i^s - 1) (2V_j^s - 1) (2V_k^s - 1) \quad (2)$$

여기서는 단극이진 $\{1, 0\}$ 모델을 가정하였다. 이 tensor W 에 오류가 발생되었거나 불완전한 입력벡터를 입력시키고

$$\hat{V}_i^r = \sum_j \sum_k W_{ijk} V_j^r V_k^r \quad (3a)$$

$$= \sum_{s=1}^M \{ \sum_j (2V_j^s - 1) V_j^r \} (2V_k^s - 1) \quad (3b)$$

다음의 thresholding작용, 즉 $\text{thr}\{\cdot\}$ 함수

$$V_i^r = 1 \text{ if } \hat{V}_i^r \geq 0 \\ = 0 \text{ otherwise} \quad (4)$$

을 거친후, 이 결과를 다시 새로운 입력으로 간주되어 위의 식(3), (4)의 작용을 반복하여 입력된 벡터와 가장 비슷한 완전한 저장벡터를 최종 출력으로 얻게 된다. 여기서 가장 비슷하다는 기준은 입력벡터와 저장벡터들 간의 내적값으로써, 그 값이 클 수록 비슷하다고 할 수 있다. 식(3b)에서 보는 바와 같이 제곱항이 도입되어 신호항과 잡음항의 분별을 보다 크게 함으로써 저장용량을 증가시키는 것이다. 이론적으로 신호-잡음비는 N/\sqrt{M} 에 비례하며 선형모델의

경우는 $\sqrt{N/M}$ 에 비례한다. 그리고 선형모델인 Hopfield 모델의 경우 저장용량 M_H 는 약 $0.1N$ 이라고 알려져 있지만 2차 비선형 모델은 약 $NM_H/3$ 이 된다. 일반적으로 k 차 비선형 모델로 확장하면 그 저장용량은 $N^k/k!$ 에 비례하게 된다.

위의 알고리듬에 기초한 광연상기억을 간단히 얻기 위해서 약간의 알고리듬의 변형이 도움이 된다. 첫번째 변형은 신경간의 연결세기를 양극 2진으로 clipping하는 것으로 on-off형의 광공간변조기(spatial light modulator)를 사용할 수 있게 되어 편리하다. 실제로 Hopfield 모델을 구현하는데도 많이 사용되었다.^[1, 2, 7] 즉 식(3a)는 다음과 같이 쓸 수 있는데

$$T_{ij} = \sum_k \text{sgn}(W_{ijk}) V_k^r \quad (5a)$$

$$\hat{V}_i^r = \sum_j \text{sgn}(T_{ij}) V_j^r \quad (5b)$$

여기서 함수 $\text{sgn}(\cdot)$ 은 다음처럼 정의한다.

$$\begin{aligned} \text{sgn}(x) &= 1 \text{ if } x > 0 \\ &= 0 \text{ if } x = 0 \\ &= -1 \text{ if } x < 0 \end{aligned} \quad (6)$$

이 때 저장된 벡터의 갯수 M 이 홀수이면 $\text{sgn}(W_{ijk})$ 는 두 가지 값(1 또는 -1)만 갖게 되므로 $\text{sgn}(W_{ijk})$ 및 $\text{sgn}(T_{ij})$ 모두에 on-off형의 광공간변조기를 사용할 수 있고, M 이 짝수이면 세가지 값을 모두 갖게 되지만 $\text{sgn}(W_{ijk})$ 만 세가지 값으로 codin하면 $\text{sgn}(T_{ij})$ 를 위한 광공간변조기에는 역시 on-off형을 쓸 수 있다.

두번째 변형은 이 양극 2진 $\text{sgn}(W_{ijk})$ 와 $\text{sgn}(T_{ij})$ 에 어떤 상수를 더하여 단극 2진으로 바꾸고(편의상 M 이 홀수라고 함) 이를 입력의존 thresholding 시스템으로 보상하는 것이다. 이를 상수를 1로 하여, 즉 모든 i, j, k 에 대해서 $W_{ijk}^* = \text{sgn}(W_{ijk}) + 1$, $T_{ij}^* = \text{sgn}(T_{ij}) + 1$ 로 하여, 식(4), (5)를 다음 두단계로 쓰자.

$$\text{단계 1: } \hat{T}_{ij} = \sum_k W_{ijk}^* V_k^r \quad (7a)$$

$$\begin{aligned} T_{ij}^* &= 2 \text{ if } \hat{T}_{ij} \geq \theta^r \\ &= 0 \text{ otherwise.} \end{aligned} \quad (7b)$$

$$\text{단계 2: } \hat{V}_i^r = \sum_j T_{ij}^* V_j^r \quad (8a)$$

$$\begin{aligned} V_i^r &= 1 \text{ if } \hat{V}_i^r \geq \theta^r \\ &= 0 \text{ otherwise.} \end{aligned} \quad (8b)$$

여기서 threshold값 θ^r 는 $\sum_j V_j^r$ 이고, 얻어진 V_i^r 는 새

로운 입력벡터로 간주되어 계환된다. 이 계환은 반드시 필요한 것은 아니지만 한번에 의한 오류보정으로 완전한 저장벡터를 출력하지 못할 경우에 도움이 된다.

III. 광학적 구현

2차 비선형 연상기억을 구성하는 N개의 신경시스템에서 신경간의 총연결 갯수는 N^3 으로 이는 선형모델에 해당하는 Hopfield 모델의 경우에 비해 대략 N 배가 된다. 이러한 많은 연결은 광학적 기술로 구현하는 것이 보다 효과적이라고 여겨진다.

앞절에서 설명한 첫단계는 참고문헌 7에서 설명한 3차원적 홀로그램 연결방법을 이용하여 구현할 수 있다. 첫단계에서 정의한 행렬 \hat{T} 가 가중합 $\sum W_k^* V_k^t$ 이므로, 각 항 $W_k^* V_k^t$ 는 그림 1(a)와 같이 V_k^t 를 1차원 on-off형의 공간 광변조기로 나타내고 홀로그램으로 투사작용을 함으로써 얻을 수 있다. W_{ijk} 가 3차 rank 텐서이므로 W_1, W_2, \dots 는 $N \times N$ 행렬이다. 일차원 광변조기의 k번째 요소가 on이라는 것은 $V_k^t = 1$ 을 의미하고 off는 $V_k^t = 0$ 을 의미한다. \hat{T} 를 얻기 위해서는 N 개의 홀로그램 요소들의 결상면에서 그림 1(b)와 같

이 N개 영상의 incoherent 합이 수행되어야 한다. 이 홀로그램을 기록하는 방법을 그림 1(c)에 나타내었다. 개개의 단극패턴 W_k^* 는 2차원 광공간 변조기로 나타내거나 필름마스크로 나타내고(투명상태는 2를 의미하고 불투명상태는 0을 의미함) 대응되는 홀로그램 요소에 기록시킨다. 그림 1(c)에서 diffuser는 홀로그램판의 dynamic range problem을 해소하고 또 결상면에서의 incoherent 합이 수행될 수 있게 한다. 입력벡터의 1의 갯수의 총합에 해당하는 threshold값 θ^t 를 얻기 위해서 그림 1에서 나타낸 것처럼 모든 2차원 패턴에 하나씩의 투명픽셀(2에 해당)을 두었다. 이렇게 하여 홀로그램의 결상평면에서 추가된 픽셀에 의해 $2\theta^t$ 를 얻게 된다. 최소한 $2N+1$ 개의 셀을 갖는 2차원 광검출기를 사용하여 \hat{T} 를 얻고 전기적으로 이를 thresholding하여 T^* 를 얻는다. 이 단극행렬은 2차원 공간 광변조기로 나타내고 다음 단계에서 사용한다.

두번째 단계는 단순히 입력벡터와 앞에서 얻은 행렬 T^* 와의 곱셈이므로 광벡터-행렬 곱셈기로 수행할 수 있다. 그림 2(a)는 전체 시스템구성도이며 광벡터-행렬 곱셈기의 렌즈들은 시각적 편의상 생략하여 그렸다. 이 때도 입력의존 thresholding이 수행되어야 하며 앞에서 얻은 θ^t 를 이용한다. 그리고 1차원 광검출기 픽셀의 크기는 coherent 합이 발생되지 않도록 너무작은 것은 피해야 한다. 여기서 얻은 벡터는 thresholding되어 다시 입력으로 계환된다.

여기서 설명한 연결방법은 참고문헌 7의 N^3 연결방법에 기초하고 있으나 Caulfield가 제안한 N^3 연결방법^[10]을 사용하여 2차 비선형 연상기억을 구현할 수 있다. 실제로 두가지의 연결방법은 연결세기가 대칭이면 서로 등가이다.^[10] 참고문헌 19의 방법으로 2차 비선형 연상기억을 구현한다면 홀로그램 소자 전체에 항상 기준법을 조사하고 이 때의 2차원 홀로그램 영상(연결정보)을 입력벡터의 외적값(행렬이 됨)으로 선택하여 이를 렌즈로 imaging시키고 thresholding하면 그 출력이 얻고자하는 벡터가 된다. 그림 2(b)는 이 방법을 사용했을 때 전체 시스템 구성도이다. 그림 2(a)와 다른점은 입력벡터가 들어 왔을 때 먼저 자신과의 외적을 수행하여 행렬로 바꾸는 부분이 필요하고 이 행렬이 실제의 입력으로 사용된다는 점이다. 이는 식 (3a)에서

$$U_k^t = V_k^t V_k^t \quad (9a)$$

$$\hat{V}_i^t = \sum_k W_{ik}^* U_k^t \quad (9b)$$

로 연산을 수행하는 끝이 된다.

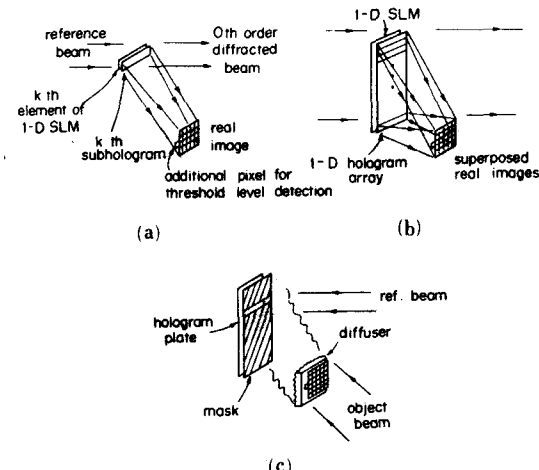


그림 1. 홀로그램을 이용한 연결방법

- (a) k번째 홀로그램요소의 투사작용
- (b) 중첩되는 실상을 갖는 N개의 홀로그램요소들의 투사작용
- (c) 이들 홀로그램요소들을 기록하는 방법

Fig. 1. Holographic interconnection method.

- (a) Projection operation of the kth subhologram.
- (b) Projection operation of N subholograms with superposed real images.
- (c) Recording method of the subholograms.

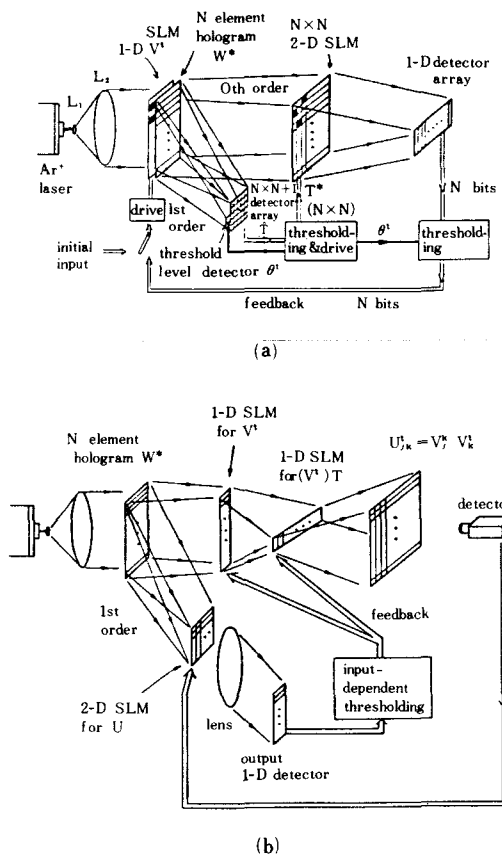


그림 2. 전체 시스템 구성도

- (a) 휠로그램과 광벡터-행렬 곱셈기를 사용한 구도
 (b) 휠로그램과 벡터-벡터 외적방법을 사용한 구도

Fig. 2. Total system setup.

- (a) The setup using holograms and optical matrix-vector multiplier.
 (b) The setup using holograms and vector-vector outer product method.

V. 실험

실험적으로 2차 비선형 연상기억을 입증하기 위해 무작위로 얻은 3개의 2진 벡터

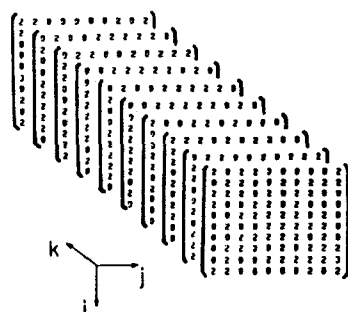
$$\mathbf{V}^1 = [1 \ 0 \ 1 \ 1 \ 1 \ 0 \ 1 \ 0 \ 0 \ 0],$$

$$\mathbf{V}^2 = [0 \ 0 \ 1 \ 1 \ 0 \ 1 \ 0 \ 0 \ 1 \ 1],$$

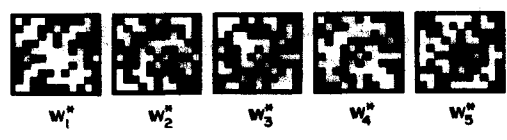
$$\mathbf{V}^3 = [1 \ 1 \ 1 \ 0 \ 0 \ 0 \ 0 \ 1 \ 0 \ 1],$$

를 1000개의 연결갯수를 갖는 10개 신경회로에 기억시켰다. 실험장치는 그림 2(a)의 구조로 하였다. 3차 rank 텐서인 W_{ijk}^* 의 값을 계산한 것이 그림 3(a)이고

이를 검은 바탕의 필름마스크로 제작한 것이 그림 3(b)이다. 그림 3(b)에서 threshold값을 검출하기 위해 추가된 투명픽셀은 각 연결패턴의 11번째 열에 두었다. 입력 1차원 광공간변조기로는 액정 광스위치 어레이를 사용하였으며 2차원 광공간변조기로는 액정 TV를 사용하였고 액정 TV 구동기는 TV 카메라이다. 개개의 휠로그램 요소의 크기는 대략 $3\text{mm} \times 30\text{mm}$ 이고 10 × 10개의 요소를 갖는 2차원 광변조기의 각 요소 크기는 대략 $2\text{mm} \times 2\text{mm}$ 정도이다(액정 TV 모니터 패널에 있는 여러개의 픽셀을 하나의 광변조기 요소로 사용하였음). 첫단계를 수행하는데 걸리는 자연시간은 전체 시스템의 자연시간보다 짧도록 하였다. 실험에서 이 시스템이 기억시킨 3개의 벡터를 오



(a)



(b)

그림 3. (a) $10 \times 10 \times 10$ 개의 요소를 갖는 계산된 3차 rank 텐서 W_{ijk}^* .

- (b) 10×10 개의 요소를 갖는 10개의 2차원 연결패턴. thresholding level을 검출하기 위한 추가의 투명 pixel은 각 패턴의 11번째 열에 두었다.

Fig. 3. (a) Calculated third rank tensor W_{ijk}^* with $10 \times 10 \times 10$ elements.

- (b) Ten 2-D connection patterns with 10×10 elements. An additional white pixel for the thresholding level detection is positioned in the eleventh column of each pattern.

류보정 능력을 갖고 기억해 낼 수 있음을 관측하였다. 그림 4는 그 실험결과이다. 신경의 갯수가 적고 광학적 접근의 영향으로 Hamming 거리 1의 오류보정 능력밖에 없었으나 그림 2(a)의 광학구현 구도는 성공적으로 입증하였다고 여겨진다.

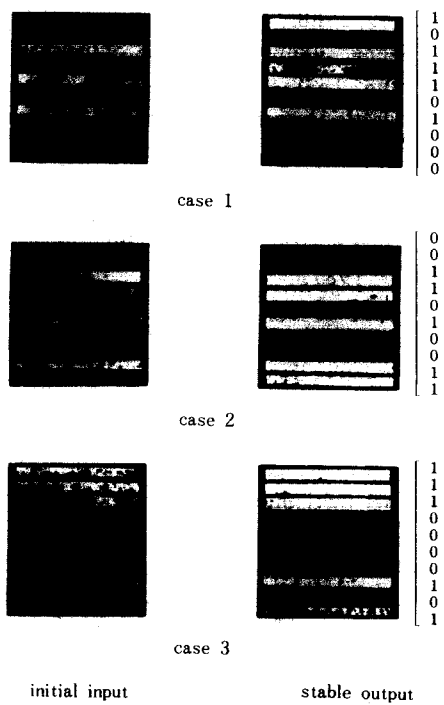


그림 4. 실험 결과

Fig. 4. Experimental results.

V. 고 찰

이 방법으로 대략 100개 정도의 신경수를 갖는 신경망을 쉽게 실현 할 수 있으리라 여겨진다. 각각의 홀로그램 소자의 크기를 대략 $0.5\text{mm} \times 10\text{mm}$ (1차원 어레이 이므로 한쪽 방향의 크기만 중요하다.)로 할 때 100×100 연결패턴 쉽게 기록되어 지기 때문이다.^[10] 따라서 100개 정도의 신경은 상용 2차원 자기광학변조기^[21]나 액정 TV, 대략 $5\text{cm} \times 1\text{cm}$ 정도의 홀로그램 전판, 그리고 CCD 광검출기 등을 사용하여 이 구도로 쉽게 구현할 수 있을 것이다.

큰 신경수 N 에 대해 앞의 알고리듬을 컴퓨터 시뮬레이션을 수행하였는데 다른 선형모델에 비해 상당한 저장용량의 증가를 볼 수 있었다. 2차 비선형 모델의 저장용량은 대략 N^2 에 비례해서 증가하므로 이를 변위불변 연상기억에 이용할 수 있을 것이다.^[10]

앞으로의 연구는 W_{ik} 를 임의로 바꿀 수 있도록 함으로써 학습이 가능한 적응시스템으로 발전시키는 것이 있고 또 한 가지는 공간을 효율적으로 사용하기 위해 2차원 영상을 기억으로 확장시키는 것이 될 것이다. Hopfield 모델에서 각 bit에 중요도를 줌으로써 기억 성능을 향상시키는 방법^[22]을 고차 비선형 모델에 적용할 수 있을 것이다.

감사의 글

여러가지로 실험에 도움을 준 본 실험실의 박진수 군(현재 KTA 연구원), 액정 스위치 어레이를 제작해 주신 서통 Displaytech 개발부의 이종호씨와 이복규 씨께 감사드립니다.

参 考 文 献

- [1] D. Psaltis and N. Farhat, "Optical information processing based on an associative memory model of neural nets with thresholding and feedback," *Opt. Lett.* vol. 10, p. 98, 1985.
- [2] N. Farhat, D. Psaltis, A. Prata, and E. Paek, "Optical implementation of the Hopfield model," *Appl. Opt.* vol. 24, p. 1469, 1985.
- [3] E.G. Paek and D. Psaltis, "Optical associative memory using Fourier transform holograms," *Opt. Eng.* vol. 26, p. 428, 1987.
- [4] A.D. Fisher, W.L. Lippincott, and J.C. Lee, "Optical implementations of associative networks with versatile adaptive learning capabilities," *Appl. Opt.* vol. 26, p. 5039, 1987.
- [5] C.C. Guest and R. TeColste, "Designs and devices for optical bidirectional associative memories," *Appl. Opt.* vol. 26, p. 5055, 1987.
- [6] N.H. Farhat, "Optoelectronic analogs of self-programming neural nets; architecture and methodologies for implementing fast stochastic learning by simulated annealing," *Appl. Opt.* vol. 23, p. 5093, 1987.
- [7] Ju-Seog Jang, Su-Won Jung, Soo-Young Lee, and Sang-Yung Shin "Optical implementation of the Hopfield model for two-dimensional associative memory," *Opt. Lett.* vol. 13, p. 248, 1988; 장주석, 정수원, 이수영, 신상영, "음연 결이 없는, Hopfield 모델에 기초한 2차원 연상기억의 광학적구현," 제 2 회

- 파동 및 레이저 학술발표회 논문집, pp. II-11-9, 1987. 2.
- [8] Y.S. Abu-Mostafa and J.-M.S. Jacques, "Information capacity of the Hopfield model," *IEEE Trans. Inf. Theory*, vol. IT-31, p. 461, 1985.
- [9] J. Hong and D. Psaltis, "Storage capacity of holographic associative memories," *Opt. Lett.* vol. 11, p. 812, 1986.
- [10] D. Psaltis and J. Hong, "Shift-invariant optical associative memories," *Opt. Eng.* vol. 26, p. 10, 1987.
- [11] R.A. Athale, H.H. Szu, and C.B. Friedlander, "Optical implementation of associative memory with controlled nonlinearity in the correlation domain," *Opt. Lett.* vol. 11, p. 482, 1986.
- [12] D.Z. Anderson, "Coherent optical eigenstate memory," *Opt. Lett.* vol. 11, p. 56, 1986.
- [13] A. Yariv and S.-K. Kwong, "Associative memories based on message-bearing optical modes in phase-conjugate resonator," *Opt. Lett.* vol. 11, p. 186, 1986.
- [14] G.J. Dunning, E. Marom, Y. Owechko, and B.H. Soffer, "All optical associative memory with shift invariance and multiple-image recall," *Opt. Lett.* vol. 12, p. 346, 1987.
- [15] H.H. Chen, Y.C. Lee, G.Z. Sun, H.Y. Lee, T. Maxwell, and C.L. Giles, "Higher order correlation model for associative memory," *AIP Conf. Proc.* vol. 151, p. 86, 1986.
- [16] D. Psaltis and C.H. Park, "Nonlinear discriminant functions and associative memories," *AIP Conf. Proc.* vol. 151, p. 1986.
- [17] D. Psaltis, C.H. Park, and J. Hong, "Higher order associative memories and their optical implementations," *Neural Networks*, vol. 1, p. 149, 1988.
- [18] Ju-Seog Jang, Sang-Yung Shin, and Soo-Young Lee, "Optical implementation of quadratic associative memory with outer-product storage," *Opt. Lett.* vol. 13, p. 693, 1988.
- [19] H.J. Caulfield, "Parallel N^4 weighted optical interconnections," *Appl. Opt.* vol. 26, p. 4039, 1987.
- [20] Ju-Seog Jang, Sang-Yung Shin, and Soo-Young Lee, "Parallel N^4 weighted optical interconnections: comments," *Appl. Opt.* vol. 27, p. 4364, 1988.
- [21] D. Psaltis, E.G. Paek, and S.S. Venkatesh, "Optical image correlation with a binary spatial light modulator," *Opt. Eng.* vol. 23, p. 698, 1984.
- [22] Soo-Young Lee, Ju-Seog Jang, Sang-Yung Shin, and Chang-Sup Shim, "Optical implementation of associative memory with controlled bit-significance," *Appl. Opt.* vol. 27, no. 10, p. 1921, 1988. *

著者紹介

張珠錫 (正會員) 第25卷 第11號 參照
 현재 한국과학기술원 전기 및
 전자공학과 박사과정

李壽永 (正會員) 第25卷 第11號 參照
 현재 한국과학기술원 전기 및
 전자공학과 조교수

申相永 (正會員) 第25卷 第8號 參照
 현재 한국과학기술원 전기 및
 전자공학과 교수